



เสถียรภาพของลาดดินที่ปลูกหญ้าแฟกในสภาวะฝนตกจากแบบจำลองคณิตศาสตร์

Stability of Soil Slope with Vetiver Grass Subjected to Rainfall from Numerical Modeling

อภินิท โชคสังกาก^{1*} และ ส่งเกียรติ ทานลัมฤทธิ²

¹ ภาควิชาวิศวกรรมโยธา คณะวิศวกรรมศาสตร์ มหาวิทยาลัยเกษตรศาสตร์ จตุจักร กรุงเทพฯ 10900

² มلنิธิพลังที่ยังยืน บริษัท ปตท.จำกัด มหาชน กรุงเทพฯ

E-mail: ¹ fengatj@ku.ac.th, ² songkiert.t@pttplc.com

บทคัดย่อ

บทความนี้นำเสนอผลการศึกษาอิทธิพลจากการปลูกหญ้าแฟกนบ
คาดติดต่อพอดีกรรมการไฟลซึ่งของน้ำฝนสู่ลาดและเสียรภาพ
ของลาด โดยอาศัยทฤษฎีกลศาสตร์ของดินไม่เอ้มน้ำ แบบจำลอง
คณิตศาสตร์ และสมบัติของดินที่มีรายการหญ้าแฟกจากงานวิจัยในอดีต
โดยดินที่มีรายการหญ้าแฟกจะมีค่ากำลังเรือนเพิ่มน้ำ แต่ก็อาจจะมีค่า
สัมประสิทธิ์การซึมน้ำสูงขึ้นด้วย ซึ่งช่วยเพิ่มการไฟลซึ่งของน้ำลงสู่ดิน
ลดการไฟลป่า และเพิ่มความชุ่มชื้นในดิน ในทางทฤษฎีแล้วนับเป็นการ
อนุรักษ์ดินและน้ำ แต่น้ำฝนที่ไฟลซึ่งสู่ด้านล่างน้ำก็อาจเพิ่มแรงดันน้ำใน
ระดับลึก และมีส่วนลดเสียรภาพของลาดในบางกรณี งานวิจัยนี้ใช้
แบบจำลองไฟลในตัวเลือกเดียวที่สำคัญคือการไฟลซึ่งและแบบจำลอง
คณิตต่ออิทธิพลเบรี่ยมสำหรับเคราะห์ที่การไฟลซึ่งและแบบจำลอง
หญ้าแฟกต่อการไฟลซึ่งน้ำ และเสียรภาพของลาดสองชนิดในทาง
ทฤษฎี พบร่วมกันผลการวัดดินธรรมชาติที่มีความชันประมาณ 26.6 องศา¹
หญ้าแฟกทำให้แรงดันน้ำในโครงดินเพิ่มน้ำเพียงเล็กน้อย แต่การเสริม
กำลังของหญ้าแฟกช่วยให้เสียรภาพโดยรวมของลาดมีค่าสูงขึ้น แต่ใน
กรณีของลาดที่ผุดความชันประมาณ 60 องศา ในทางทฤษฎีพบว่าหาก
รากหญ้าแฟกลงไปลึกถึง 0.8 เมตรจะสามารถนำน้ำลงไปได้ดีที่สุด ที่ระดับ
ลึกได้มากขึ้นอย่างมีนัยสำคัญ ทำให้แรงดันน้ำได้ดีขึ้นและ
ค่าวัตถุร่วมความเคลื่อนไหวลดลงประมาณ 10%

คำสำคัญ: หญ้าแฟก, แรงดันน้ำซึ่งว่างวด, เสถียรภาพของลاد, การ์ไนท์ซีน

Abstract

This paper presents the results of study on influence of vetiver grass on infiltration behaviour and stability of slope based on unsaturated soil mechanics theory, numerical model using parameters from past studies. Since the root-reinforced soil is expected to be of higher strength as well as higher permeability, which would help to reduce runoff by providing more infiltration, thus improving the soil and water conservation. Nevertheless, this would also lead to increase in pore water pressure and possibly decrease in slope stability in some cases. In this research, finite element method was used to analyze infiltration of rain into slope and limit-equilibrium method for slope stability calculation of 2 hypothetical slopes. It was found that for natural soil slope with gradient 26° , the 2-metre vetiver grass roots appeared to increase the pore water pressure only marginally and thus the stability of the soil was improved.

by reinforcement of the roots. However, for a weathered rock slope of about 60° , the 0.8m deep vetiver roots could potentially provide a pathway for water infiltration, increased the pore water pressure and thus reduced the factor of safety of the slope by about 10%.

Keywords: Vetiver, Pore-water pressure, Slope stability, Seepage

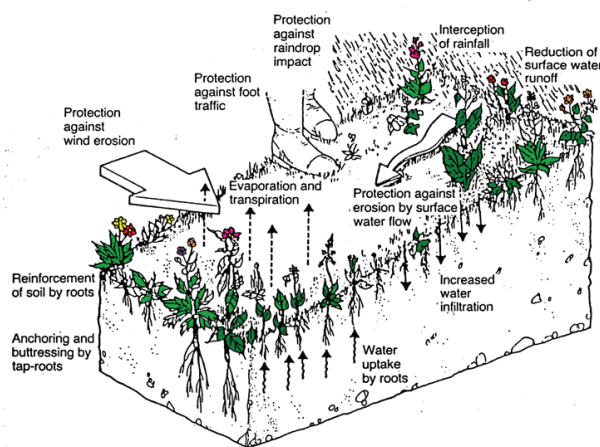
1. บทนำ

ปัญหาการจะล้างพังทลายของลดาดินและดินคลุ่มน้ำบ้านจะทวีความรุนแรงมากยิ่งขึ้น เนื่องจากการเปลี่ยนแปลงภูมิอากาศของโลกก่อให้เกิดความแปรปรวนของรูปแบบการตกของฝน เช่น ฝนตกหนักในช่วงเวลาสั้นๆ หรือฝนตกยาวนานผิดปกติ ก่อให้เกิดความเสียหายต่อสิ่งแวดล้อม พื้นที่เกษตรกรรม และโครงสร้างพื้นฐานของประเทศ การใช้ประโยชน์ที่ดินมากขึ้นในที่สูงชันก็มีส่วนทำให้ปัญหารุนแรงมากยิ่งขึ้น เช่นกัน

การแก้ไขป้องกันปัญหาดินคลุ่มทางหนึ่งทำได้โดยการปลูกพืชพรรณชนิดต่างๆบนล้ำด้วยกับการใช้โครงสร้างทางวิศวกรรม หรือที่เรียกว่า bio-engineering (Soil-Bioengineering/Ecological Engineering) ซึ่งสามารถแก้ไขดินคลุ่มระดับต้นและกระบวนการหลังพังทลายได้อ่าย่าง มีประสิทธิภาพและยั่งยืนสอดคล้องกับธรรมชาติ ทั้งมีราคาไม่สูงเมื่อเทียบกับการใช้โครงสร้างอื่นๆ [1-5] โดยที่มาแล้วจัดเป็นพืชที่นิยมปลูกมากที่สุดในประเทศไทยและประเทศในเขตตะวันออก เนื่องจากมีระบบ根ที่ลึกและแผ่กระจาลลงในดินเสมอเมื่อมาตั้งต้นที่มีชีวิต ทั้งมีลำต้นและกอที่แน่นหนาสามารถลดแรงจากน้ำไหลบ่าได้อย่างดี ดังแนวพระราชดำริของพระบาทสมเด็จพระปรมินทรมหาภูมิพลฯ ซึ่งไดทรงริเริ่มและสนับสนุนการวิจัยและการประยุกต์ใช้ที่มาตั้งต้นแห่งน้ำ พ.ศ. 2534 เพื่อการอนรักษ์ดินและน้ำ และป้องกันการชะล้างพังทลายของล้ำดิน

อิทธิพลจากด้านไม้ต่อพฤติกรรมทางชลศาสตร์หรือการไหลของน้ำฝนสู่ดินสามารถพิจารณาได้หลายด้าน (รูปที่ 1) โดยมีทั้งด้านที่อาจส่งผลกระทบและบางว่าต่อเสถียรภาพ อาทิเช่น การดักน้ำฝน (Interception) และการดูดน้ำไปใช้ของพืช (Transpiration) จะช่วยลดแรงดันน้ำในโครงซึ่งเป็นผลดีต่อเสถียรภาพ แต่ รากพืชและความขุ่นของผิวดิน (Surface roughness) ที่เพิ่มขึ้นอาจทำให้ดินมีค่าสัมประสิทธิ์การซึมน้ำมากขึ้นและน้ำฝนไหลเข้าสู่ดินล่างได้มากขึ้นซึ่งอาจส่งผลในแง่ลบ [1] อย่างไรก็ตาม ห้องน้ำเรียกวัตถุ รากพืชที่ย่อยสลายไป รวมถึงกิจกรรมทางชีวภาพต่างๆ (เช่นการขอนใช้ของไส้เดือน มะ ปลวกต่างๆ) ที่เกิดขึ้นบริเวณรากพืชจะช่วยให้หน้าดินมีช่องว่างที่โปร่งขึ้น เปรียบเสมือนกับมีชั้นฟองน้ำที่มีความพรุนสูง (High porosity) และนำน้ำได้ดี (High permeability) ปกคลุมดินอยู่ [6,7] ในเมื่อชั้นหน้าดินที่คล้าย

พองน้ำนี้จะช่วยลดความเร็วของน้ำไหลบ่า (Run-off) และชับน้ำฝนไว้ กับหน้าดินจึงยืดระยะเวลาก่อนที่จะเกิดน้ำไหลบ่าขึ้นภายหลังจากฝนตก นอกจากนี้ยังอาจป้องกันไม่ให้น้ำไหลซึมลึกลงไปได้ล่างได้ โดยน้ำจะไหลออกด้านข้างไปก่อนที่จะไหลซึมสู่ดินชั้นล่าง จากลักษณะฟังก์ชันสัมประสิทธิ์การไหลซึมในสภาพฯ ไม่อิ่มตัว (Unsaturated permeability function) ของหน้าดิน



รูปที่ 1 อิฐิพลาสติกพร้อมต่อการไหลของน้ำที่ผิวดิน [8]

อย่างไรก็ตาม ในกรณีของหญ้าแฝกซึ่งมีระบบ rakelik และมีความสามารถเจาะทะลุชั้นดินดานได้ การนำน้ำฝนผ่านรากราไปสู่ดินด้านล่างอาจส่งผลลบต่อเสถียรภาพได้ในบางกรณี โดยเฉพาะหากผลลัพธ์จากหญ้าแฝกในด้านการเพิ่มกำลังเฉือนของดิน ถูกหักล้างไปโดยผลลัพธ์จากแรงดันน้ำที่เพิ่มขึ้นบริเวณช่องว่างรอบหญ้าแฝก ทั้งนี้ เมื่อวันที่ 25 กรกฎาคม 2554 พระบาทสมเด็จพระเจ้าอยู่หัว ได้พระราชทานพระราชดำริเกี่ยวกับปัญหาดินคลุ่มและการใช้หญ้าแฝก กับ ดร.สุเมร ตันติเวชกุล เลขาธิการมูลนิธิชัยพัฒนา และคณะผู้เกี่ยวข้อง โดยมีรับสั่งว่า “ในกรณีที่ว่า ให้ใช้ความระมัดระวังในการดำเนินงาน เพราะแม้กระทั่งหญ้าแฝกซึ่งตามหลักจะป้องกันดินพังทลาย ก็อาจจะเป็นตัวการให้ดินคลุ่มได้ เพราะรากจะลึกทำให้ดินแตกแยก และนำน้ำลงไปอาจจะเป็นเหตุให้ดินพังทลายเสียเอง” [9]

บทความนี้จึงนำเสนอผลการศึกษาอิฐิพลาสติกหญ้าแฝกบนลาดดิน ต่อพฤติกรรมการไหลซึมของน้ำฝนสู่ดินและเสถียรภาพของดิน โดยอาศัยทฤษฎีกลศาสตร์ของดินไม่อิ่มน้ำ แบบจำลองไฟโนต์อิลิเมนต์ สำหรับเคราะห์การไหลซึม และแบบจำลองลิมิตอิโควิลิเตอร์มิสต์ สำหรับวิเคราะห์เสถียรภาพ โดยอาศัยสมบัติของดินที่มีรากหญ้าแฝกและดินในพื้นที่ลาดชันจากงานนวัจัยในอดีต โดยอิโควิลิเตอร์มิสต์ได้แสดงถึงค่าคงที่ที่สำคัญ 1) ลาดดินธรรมชาติมีหน้าดินปกคลุม ความชั้นประมาณ 26 องศา ซึ่งพบได้ทั่วไปในธรรมชาติ และความชั้นของดินที่มีรากเกิดการพิบัติระดับตื้นและโคลนคลุ่ม, 2) ลาดทินมีความชั้นประมาณ 60 องศา ปราศจากพืชปกคลุม ซึ่งมักเป็นดินที่ดัดในงานวิศวกรรมต่างๆ โดยลาดทั้งสองรูปแบบจะวิเคราะห์ ทั้งกรณีที่มีการปลูกหญ้าแฝกเป็นแนวตามแนวระดับ และกรณีไม่มีการปลูกหญ้าแฝก เพื่อเปรียบเทียบ พฤติกรรมการไหลซึม แรงดันน้ำ และ อัตราส่วนความปลดภัยของดิน ที่เปลี่ยนแปลงไปตามระยะเวลาที่ฝนตกและปริมาณน้ำฝน

2. ทฤษฎีที่เกี่ยวข้อง

2.1 การไหลของน้ำผ่านดินในสภาพฯไม่อิ่มน้ำ

การประเมินพฤติกรรมการไหลซึมของน้ำฝนสู่ดินอาศัยสมการพื้นฐานสำหรับการไหลของดิน หรือสมการความต่อเนื่อง (Continuity equation) ดังนี้

$$\frac{\partial}{\partial x} \left[k_x \frac{\partial h}{\partial x} \right] + \frac{\partial}{\partial y} \left[k_y \frac{\partial h}{\partial y} \right] + Q = m_w \left[\frac{\partial u_w}{\partial t} \right] \quad (1)$$

เมื่อ ค่า k_x และ k_y คือค่าสัมประสิทธิ์การซึมน้ำในแนวแกน x และ y ซึ่งจะเป็นฟังก์ชันปรับผันตามค่าแรงดันน้ำในช่องว่างดิน (Pore water pressure, u_w) ซึ่งมีทั้งค่าวกและลบ, ค่า h คือ ศักย์น้ำรวม (Total hydraulic head), ค่า Q คือ ปริมาณน้ำไหลเข้าออกที่ขอบเขต (Applied boundary flux) นั้นคือ ปริมาณน้ำฝนที่ไหลซึมสู่ดิน หรือปริมาณน้ำที่ระบายน้ำที่ถูกพัดไปข้างนอก ค่า m_w คือ ความชั้นของเส้นอัตลักษณ์ของดิน (Soil-Water Characteristic Curve) ซึ่งคือความสัมพันธ์ระหว่าง ความชั้นและแรงดันน้ำค่าลบในดิน

วัตถุประสงค์สำคัญในการแก้สมการที่ (1) คือ การหาค่าแรงดันน้ำสำหรับการคำนวณกำลังเฉือนของดิน และคำนวณเสถียรภาพของดินนั้นเอง ทั้งนี้เมื่อพิจารณาสมการที่ (1) ถ้าให้เห็นได้ว่า ค่าแรงดันน้ำในดินจะมีมากก่อนอย่างกัน ปริมาณน้ำฝน ฟังก์ชันสัมประสิทธิ์ความชื้มน้ำได้ของดิน และลักษณะเส้นอัตลักษณ์ของดิน

2.2 กำลังเฉือนของดิน

สมการกำลังเฉือน (Shear strength, τ) ของดินในสภาพฯ ที่แรงดันน้ำ (Pore water pressure) มีค่าวกหรือลบ และมีการเสริมแรงจากรากในดิน สามารถเขียนเป็นรูปอย่างง่ายได้ดังนี้ [10]

$$\tau = c^r + c' + \sigma_n \tan \phi' - u_w \tan \phi^b \quad (2)$$

c' = ค่าความเชื่อมแน่นประสิทธิผล (Effective cohesion) เนื่องจากความแน่นของดิน (Over-consolidation) และ การเชื่อมประสานของเม็ดดิน (Cementation)

c^r = ค่าความเชื่อมแน่นเนื่องจากรากพืช (Root cohesion) ปรับผันตามปริมาณของรากพืชที่ยึดเม็ดดินไว้ด้วยกันดังสมการที่ (3)

$$\sigma_n = \text{ค่าหน่วยวักระทำด้วยกันกับพื้นผิว} \quad (\text{Normal stress})$$

ϕ' = มุมกำลังเฉือนของดิน (Angle of shearing resistance) สำหรับกรณีการวิเคราะห์เสถียรภาพของดินจะนิยมใช้ค่าที่สภาวะวิกฤต (Critical state) หรือ ที่สภาวะคงค้าง (Residual strength) ขึ้นกับระดับการเคลื่อนตัว

u_w = แรงดันน้ำในช่องว่างดิน (Pore water pressure) แสดงถึง สภาวะของแรงดันน้ำในโพรงดิน หากมีค่าติดลบน้ำจะอยู่ใต้สภาวะแรงดึงหรือ Tension แต่หากมีค่าวกน้ำจะอยู่ในสภาวะแรงดันน้ำ นั้นคือ มีระดับน้ำใต้ดินขึ้นสูง

ϕ^b = มุมกำลังเฉือนของดิน (Angle of shearing resistance) จากค่าแรงดันน้ำที่ติดลบ จะมีค่าไม่คงที่โดยขึ้นกับแรงดันน้ำและระดับความอิ่มตัว ในกรณีที่ดินอิ่มตัว เมื่อ $u_w > 0$, จะกำหนดให้ ϕ^b มีค่า

เท่ากับ ϕ' แต่หาก $u_w < 0$ (หรือดินไม่อิ่มตัว) จะกำหนดเป็นค่าคงที่ในช่วงค่า u_w ได้ฯ

ค่าแรงดันน้ำในช่องว่างดิน (Pore water pressure) จึงเป็นตัวแปรสำคัญ ซึ่งเปลี่ยนแปลงไปตามสภาพน้ำฝนและส่งผลถึงเสถียรภาพของลาด ซึ่งในการศึกษาที่ได้จากการวิเคราะห์การไหลซึมด้วยวิธีไฟโนต์ อิลิเม้นต์

สำหรับการประเมินค่าความเชื่อมแน่นจาก rakพื้น สามารถใช้สมการที่ (3) ดังนี้ [11]

$$c^r = T_R \left[\frac{A_R}{A} \right] (\sin \theta + \cos \theta \tan \phi') \quad (3)$$

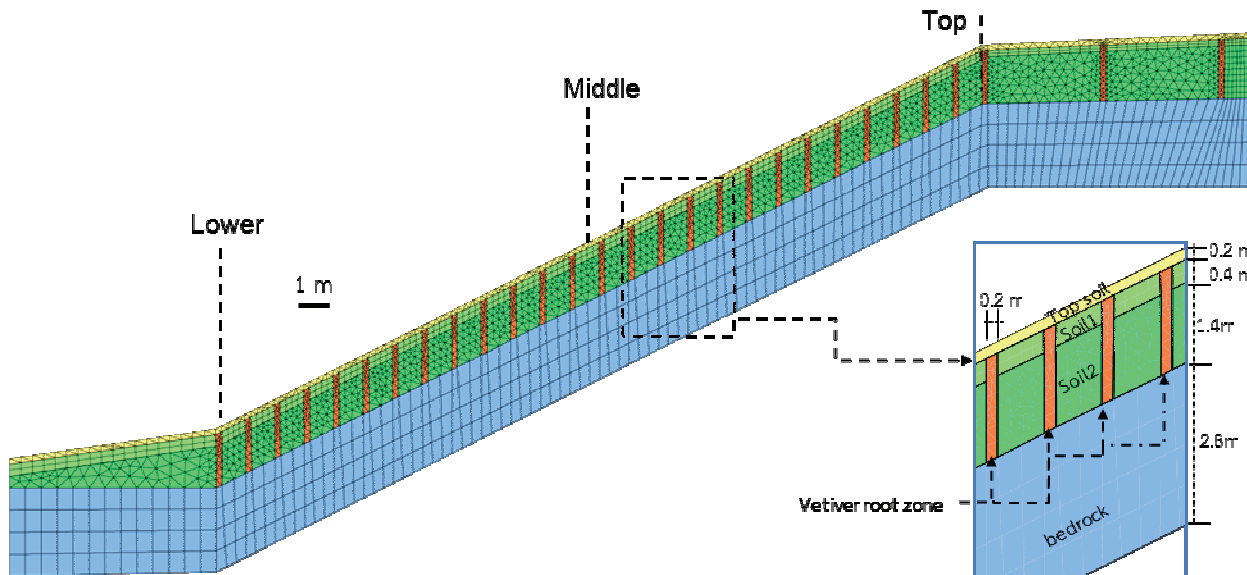
เมื่อ T_R คือค่ากำลังดึงของ rak (kPa), $c_r = \frac{A_R}{A}$ คืออัตราส่วนของพื้นที่หน้าตัด rak ต่อพื้นที่ดินทั้งหมดบนระนาบเฉือน (root-area ratio); θ = มุมการเอียงตัวของ rak ในบริเวณที่เกิดการเฉือน (Shear distortion angle in the shear zone)

3. กรณีศึกษาที่ 1 ลาดดินธรรมชาติชัน 26.6 องศา

3.1 ลักษณะของลาดและชั้นดิน

กรณีศึกษาที่ 1 เป็นลาดดินธรรมชาติดังแสดงในรูปที่ 2 ลาดมีหน้าดิน (Top soil) ปกคลุมหนาประมาณ 0.2 m. ความลึกจากผิวดินถึงชั้นหิน (Bedrock) ประมาณ 2 เมตร ความชันประมาณ 26.6 องศา (1:2, ดิ่ง:ราบ) ซึ่งเป็นความชันของลาดในธรรมชาติที่มักเกิดการพิบัติระดับตื้นและโคลนคล่ม สำหรับกรณีที่จำลองหญ้าแฝกบนลาดกำหนดให้มีความถาวรต้านแรงดึงดูด 1 เมตรในแนวราบ ความลึกของ rak แฟกให้เท่ากับ 2 เมตร ซึ่งลึกถึงชั้นหิน ความกว้างของ rak แฟกกำหนดให้เท่ากับ 0.2 m. ความยาวของลาดตามแนวเส้นเรียบประมาณ 29 เมตร

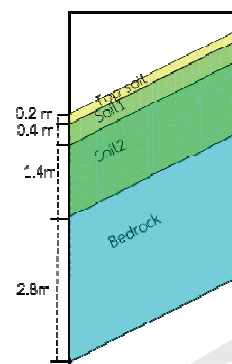
สำหรับกรณีลาดที่ไม่มีหญ้าแฝก ได้กำหนดให้มีชั้นหน้าดินหนา 0.2 เมตรปกคลุมชั้นดิน แต่ไม่มีรากแฟกลึกต่ำลงจากหน้าดินนั้น ดังแสดงในรูปที่ 3 นอกนั้นกำหนดให้ลักษณะอื่นๆของลาดเหมือนกับกรณีลาดที่มีหญ้าแฝกทุกประการ



รูปที่ 2 ลักษณะหน้าตัดลาดดินธรรมชาติสำหรับกรณีศึกษาที่ 1 และ finite element mesh สำหรับวิเคราะห์การไหลซึม กรณีปลูกหญ้าแฝก

3.2 สมบัติของดินที่ใช้ในการวิเคราะห์

ในการวิเคราะห์ได้เลือกใช้สมบัติของดินจากงานวิจัยในอดีต [12-14] ดังแสดงไว้ในตารางที่ 1 และ รูปที่ 4 และ 5 สำหรับพารามิเตอร์ของหน้าดิน (Top soil) และดินจากหินดูซึ่งไม่มีรากหญ้าแฝก (Soil 1 & Soil 2) เป็นผลการทดสอบตัวอย่างดินคงสภาพเก็บจากลาดชันประมาณ 26 องศา ในบริเวณสวนผลไม้ ต.แม่ழู อ.ลับแล จ.อุตรดิตถ์ ซึ่งเป็นพื้นที่ซึ่งประสบภัยดินโคลนคล่มและน้ำป่าไหลหลากในช่วงเดือน พฤษภาคม 2549 ลักษณะทางธรณีวิทยาเป็นหินดินดานและหินโคลน โดยในส่วนของค่ากำลังเฉือนของดิน Soil1 และ Soil2 ได้ทำการปรับลดค่า c' และ ϕ' ลงจากค่าที่ได้จากการทดสอบ เพื่อจำลองลักษณะดินที่ผู้พูดมากขึ้นจนมีกำลังลดลง เพื่อให้ผลการวิเคราะห์เสถียรภาพแสดงถูกต้องที่สุดเจนนี้



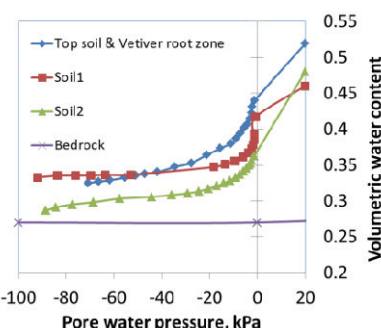
รูปที่ 3 ลักษณะชั้นดิน กรณีศึกษาที่ 1 กรณีไม่ปลูกหญ้าแฝก

สำหรับชั้นหิน (Bedrock) ในการวิเคราะห์เสถียรภาพกำหนดให้ วงการพิบติ (Failure surface) ในสามารถตัดผ่านชั้น Bedrock ได้ (Impenetrable) และในการวิเคราะห์การไหลซึม เลือกใช้ค่า สัมประสิทธิ์การซึมน้ำจาก [15] ซึ่งเป็นค่าทั่วไปสำหรับหินตะกอนที่มี รอยแตกเล็กน้อย (Slightly jointed sedimentary rock, joint opening =0.01 cm, 1 joint/metre) และ กำหนดเส้นอัตลักษณ์ (SWCC) จากผลทดสอบหินชอล์กซึ่งรายงานไว้ใน [16]

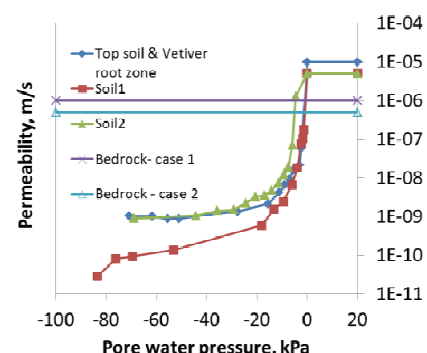
สำหรับดินบริเวณที่มีรากหญ้าแฟก (Vetiver root zone) เลือกใช้ ค่าความเชื่อมแน่นที่เพิ่มขึ้นจากรากพืช c^r เท่ากับ 9 kPa (นั่นคือ $c' + c^r = 11$ kPa) ซึ่งเป็นค่าเฉลี่ยจากการวิจัยในอดีตโดย [4-5] สำหรับพังก์ชั้นสัมประสิทธิ์การซึมน้ำและเส้นอัตลักษณ์ (SWCC) ของ ดินที่มีรากหญ้าแฟก (รูปที่ 4 และ 5) ในเบื้องต้นกำหนดให้ใช้ค่าเท่ากับ สัมประสิทธิ์ของหน้าดิน (Top soil) ที่ทดสอบได้จากพื้นที่อุตสาหกรรมซึ่ง เป็นดินที่มีปริมาณรากอยู่ค่อนข้างมาก ดังนั้นในการวิเคราะห์นี้ ดินที่มี รากหญ้าอยู่มีค่าสัมประสิทธิ์การซึมน้ำในสภาพวิมานน้ำ k_{sat} เท่ากับ 10^{-5} m/s ในขณะที่ดินซึ่งไม่มีรากหญ้ามีค่า k_{sat} เท่ากับ 5×10^{-6} m/s นั่นคือรากพืชบนดินจนแน่นได้เร็วขึ้นเท่าตัว

ตารางที่ 1 สมบัติของดินในการวิเคราะห์กรณีศึกษาที่ 1 ลาดชัน 26.6 องศา

Material	γ_{sat} , kN/m ³	$c' + c^r$, kPa	ϕ'	ϕ^b	γ_{moist} , kN/m ³	ที่มา
Top soil	17	22.8	17.6	13.9	16.5	[12-14]
Soil1	18.5	2	32	27.7	18	[12-14]
Soil2	18.7	2	32	27.7	18	[12-14]
Vetiver root zone	18.5	11	32	27.7	18	[4-5, 12- 14]



รูปที่ 4 เส้นอัตลักษณ์ของดินในการวิเคราะห์

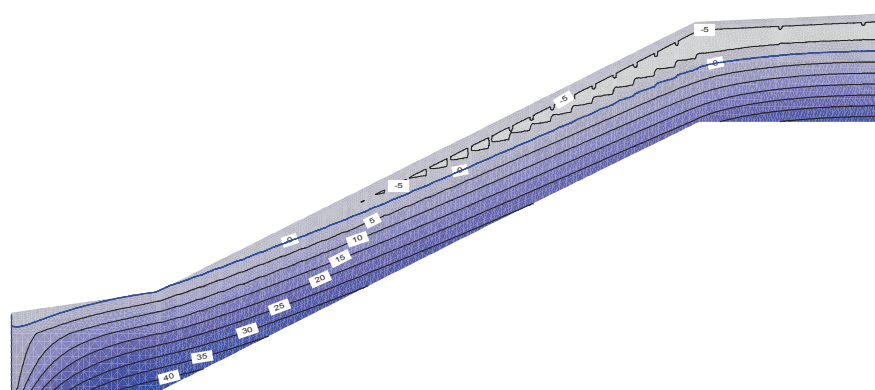


รูปที่ 5 พังก์ชั้นสัมประสิทธิ์การซึมน้ำของดินในการวิเคราะห์

3.3 การวิเคราะห์การไหลซึมและแรงดันน้ำ

การวิเคราะห์การไหลซึมเพื่อศึกษาอิทธิพลจากน้ำฝนต่อเสถียรภาพ ของดินในงานวิจัยนี้ใช้โปรแกรม SEEP/W โดยการวิเคราะห์มีสอง ขั้นตอนดังต่อไปนี้โดยละเอียดใน [13,17] คือ 1) การวิเคราะห์ สภาวะเริ่มต้น ซึ่งเป็นการวิเคราะห์แบบสภาวะคงที่ (Steady state analysis) กำหนดให้ค่า boundary condition ที่ผิวดินด้านบนลาดมี ค่าอัตราการไหลซึมเข้าเท่ากับ $1.077E-07$ m/s (300 มม./เดือน) ซึ่งมี ค่าประมาณเท่ากับน้ำฝนที่ตกในหนึ่งเดือนในช่วงต้นฤดูฝน และให้ใช้ เงื่อนไข Potential seepage review on นั่นคือจะไม่อนุญาตให้มีน้ำ เจริญงอกบดเนาดึงและย้อมให้มีการน้ำไหลออกจากลาดได้ในบางส่วน ของลาด หากเจื่อนไขถูกต้อง (คล้ายด้านน้ำไหลออกจากลาดซึ่งเรียกว่า Seepage face) เพื่อให้ผลการวิเคราะห์ใกล้ความเป็นจริง

สำหรับขอบเขตฝั่งซ้ายของลาด กำหนดให้ค่า boundary condition มีค่าแรงดันน้ำเท่ากับศูนย์ สำหรับขอบเขตฝั่งด้านขวาและ ด้านล่างของลาดไม่กำหนด boundary condition ใดๆ (No flow) ผล การวิเคราะห์สภาวะเริ่มต้นแสดงในรูปที่ 6 ในลักษณะของ contour ของแรงดันน้ำในช่องว่างดิน ระดับน้ำใต้ดินไหลออกที่ผิวน้ำดินบริเวณ ตีนลาด และแรงดันน้ำที่ผิวดินมีค่าติดลบมากยิ่งขึ้นตามระดับความสูง ของลาด โดยมีค่าประมาณ -2 ถึง -5 kPa และพบว่าระดับน้ำใต้ดินอยู่ที่ ความลึกประมาณ 2 เมตรที่ด้านบนของลาด ลักษณะแรงดันน้ำสัมมูล ให้เป็นค่าเฉลี่ยของลาดในช่วงต้นฤดูฝน (ซึ่งมีน้ำฝนเฉลี่ย 300 มม./เดือน) ก่อนที่จะเริ่มมีปริมาณฝนตก/runoff ซึ่งส่งผลต่อเสถียรภาพ ของลาด



รูปที่ 6 Contour ของแรงดันน้ำในช่องว่าง (kPa) ในสภาวะเริ่มต้น (time= 0 hr) น้ำฝนเฉลี่ย 300 มม./เดือน ในกรณีศึกษาที่ 1

ขั้นตอนที่สองเป็นการวิเคราะห์การไหลในสภาวะแปรเปลี่ยน (Transient analysis) มีวัตถุประสงค์เพื่อจำลองสภาวะที่มีฝนตก/runoff โดยอาศัยผลค่าแรงดันน้ำในรูปที่ 6 เป็นสภาวะเริ่มต้น สำหรับ boundary condition ได้กำหนดให้ผิวด้านบนของลาดมีค่าอัตราการไหลซึ่งเท่ากับ $1E-06 \text{ m/s}$ (3.6 mm./ชม. หรือ 86.4 mm./วัน) มีการไหลที่และต่อเนื่องเป็นระยะเวลาอย่างน้อย 48 ชม. บริเวณขอบด้านซ้ายและด้านบนของ Finite element mesh กำหนดให้เป็น Seepage face ผลการคำนวณค่าแรงดันน้ำในแต่ละช่วงเวลาจะนำไปคำนวณเสถียรภาพต่อไป ทั้งนี้การคำนวณแรงดันน้ำในขั้นตอนที่สองจะวิเคราะห์ทั้งกรณีที่มีหญ้าแฟกและกรณีที่ไม่มีหญ้าแฟกเพื่อเปรียบเทียบพฤติกรรมการไหลซึ่งและแรงดันน้ำทั้งสองรูปแบบ

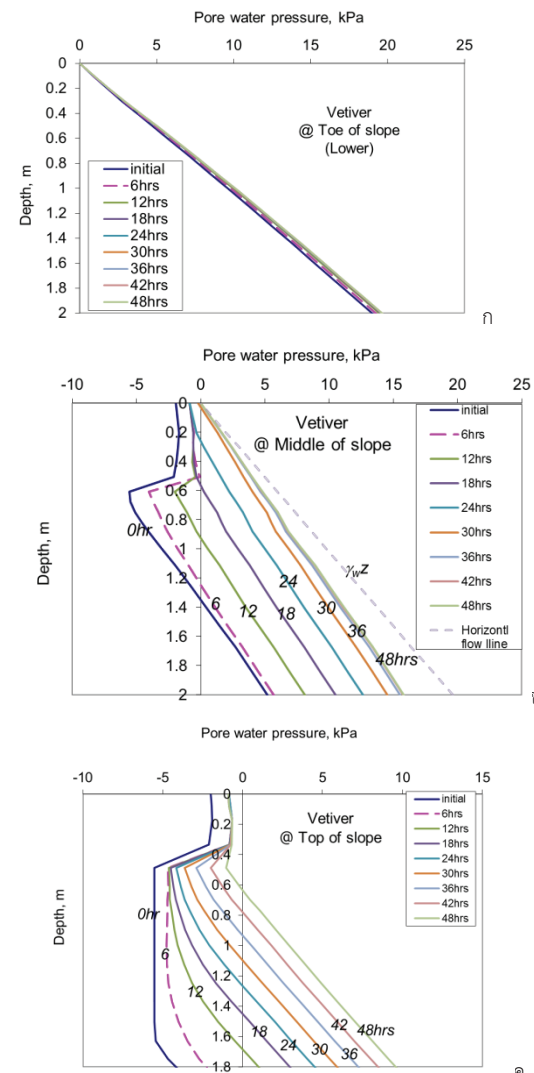
รูปที่ 7 แสดงพฤติกรรมของแรงดันน้ำที่เปลี่ยนแปลงตามเวลา สำหรับกรณีลาดดินปูดหญ้าแฟก โดยแสดงแรงดันน้ำบริเวณสามแนวได้แก่ แนวล่าง (Lower) แนวกลาง (Middle) และ แนวบน (Top) (ดูรูปที่ 2) จากผลการวิเคราะห์พบว่า แรงดันน้ำบริเวณฐานของลาด (Slope toe) (รูป 7ก) มีค่าไม่เปลี่ยนแปลงมากนัก เนื่องจากในช่วงต้นๆ ฤดูฝน จะมีระดับน้ำใต้ดินอยู่ใกล้ผิวดินบริเวณฐานดินลาดอยู่ตลอดอยู่แล้ว บริเวณน้ำฝนที่ตกลงมาจึงเปลี่ยนแปลงแรงดันน้ำได้ไม่มากเท่าใด และบริเวณน้ำฝนจะไม่ซึมลงดินมากนักแต่จะกล้ายเป็นน้ำไหลบ่าออกไปแทน

สำหรับแรงดันน้ำบริเวณกึ่งกลาง (Middle) และด้านบน (Top) ของลาด (รูป 7ข-ค) พบว่ามีการเปลี่ยนแปลงแรงดันน้ำที่ชัดเจนกว่า โดยในช่วงฝนตก 6 ชม. แรก (น้ำฝนสะสมประมาณ 22 mm.) จะมีการเปลี่ยนแปลงแรงดันน้ำมากในช่วงหน้าดินลึก 0.5 เมตร จากระดับน้ำใต้ดินอยู่ 0.5 เมตร บนไปเปลี่ยนแปลงมากนัก. และในบริเวณกึ่งกลางของลาด พบระดับน้ำใต้ดินขึ้นมาถึงผิวดิน ในช่วงชั่วโมงที่ 30 (น้ำฝนสะสม 100 mm.) ซึ่งพบว่ากราฟแรงดันน้ำจะมีลักษณะเส้นตรง มีค่าประมาณ 74% ของกราฟแรงดันน้ำ $n = \gamma_w Z$ เมื่อ Z คือความลึกจากผิวดิน ซึ่งเป็นลักษณะการไหลซึ่งของน้ำในแนวราบออกจากลาดดิน [1]

บริเวณด้านบนของลาด (รูป 7ค) พบร่วงเวลา 48 ชม. (ปริมาณน้ำฝนสะสมเท่ากับ 172 mm.) ส่งผลให้ระดับน้ำใต้ดินสูงขึ้นไปอยู่ที่ประมาณ 0.6 เมตร จากระดับน้ำใต้ดินอยู่ 0.5 เมตร บนไปเปลี่ยนแปลงมากนัก. และในบริเวณที่เป็นบริเวณฐานดินลาด (Toe) แรงดันน้ำจะมีการเปลี่ยนแปลงค่อนข้างน้อยเนื่องจากในสภาวะเริ่มต้นระดับน้ำใต้ดินอยู่สูงใกล้ผิวดินอยู่แล้ว

รูปที่ 8 แสดงตัวอย่างผลการวิเคราะห์การไหลซึ่งทั้งกรณีที่มีหญ้าแฟก (Vetiver) และกรณีไม่มีหญ้าแฟก (No vetiver) พบร่วงความแตกต่างของแรงดันน้ำในทั้งสองกรณีเพียงเล็กน้อย โดยในบริเวณดินลาดและกึ่งกลางของลาด (รูปที่ 8ก และ ข) แทบจะไม่มีความแตกต่างของแรงดันน้ำระหว่างแรงดันน้ำที่เปลี่ยนแปลงที่ปูดหญ้าแฟกและไม่ปูดหญ้าแฟกเลย แต่ในบริเวณด้านบนของลาด (รูปที่ 8ค) แรงดันน้ำที่เปลี่ยนแปลงที่ปูดหญ้าแฟกจะมีแรงดันน้ำสูงกว่าแรงดันน้ำที่ไม่ได้ปูดหญ้าแฟก โดยเฉพาะบริเวณที่ลึกน้อยกว่า 0.5 เมตร แต่ในดินบริเวณที่ลึกกว่า 0.5 เมตร แรงดันน้ำที่เปลี่ยนแปลงที่ไม่มีหญ้าแฟกจะมีแรงดันน้ำสูงกว่าแรงดันน้ำที่ไม่ได้ปูดหญ้าแฟก เนื่องจากหญ้าแฟกสามารถนำน้ำลงไปใต้ดินได้มากกว่าอย่างไรก็ตามสำหรับลาดดินธรรมชาติ ทั้งกรณีมีหญ้าแฟกและไม่มีหญ้าแฟก พบร่วงความแตกต่าง

ใกล้เคียงกันมาก แทบไม่มีนัยสำคัญในด้านเสถียรภาพของลาดดังจะได้อธิบายต่อไป



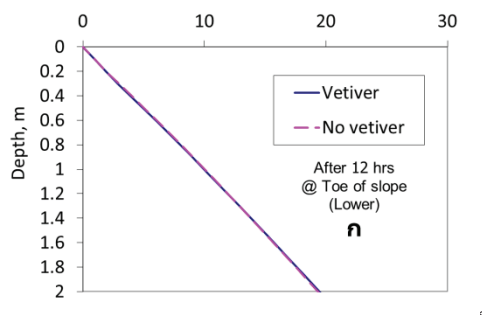
รูปที่ 7 แรงดันน้ำที่เวลาและตำแหน่งต่างๆ สำหรับกรณีลาดดินปูดหญ้าแฟก

3.4 ผลการวิเคราะห์เสถียรภาพ

ในการศึกษานี้ได้วิเคราะห์เสถียรภาพของลาด (Slope stability analysis) ทั้งกรณีที่มีหญ้าแฟกและไม่มีหญ้าแฟก โดยอาศัยค่าแรงดันน้ำภายในลาดจากผลวิเคราะห์การไหลซึ่งที่แสดงไว้ในหัวข้อ 3.3 โดยใช้ General Limit Equilibrium (GLE) และเป็นการวิเคราะห์แบบ Effective stress ในโปรแกรม SLOPE/W ผลการวิเคราะห์ดังรูปที่ 9 แสดงในลักษณะของค่าอัตราส่วนความปลอดภัย (Factor of Safety, FS) ที่เปลี่ยนแปลงไปตามปริมาณน้ำฝนสะสมตั้งแต่สภาวะเริ่มต้น ซึ่งเห็นได้ว่า เมื่อมีน้ำฝนตกสะสมขึ้น แรงดันน้ำในลาดจะมีค่าสูงขึ้นดังอธิบายไว้ก่อนหน้านี้ ซึ่งส่งผลให้หนาแน่นของมวลดินสูงขึ้นและค่ากำลังเฉือนของดินมีค่าลดลง และทำให้อัตราส่วนความปลอดภัยของลาดมีค่าลดลงในที่สุด ทั้งนี้จะเห็นได้ว่า ลาดดินที่ปูดหญ้าแฟกจะมีค่า FS สูงกว่าลาดที่ไม่ได้ปูดหญ้าแฟกในทุกค่าของน้ำฝนสะสม ซึ่งสรุปได้ว่า การ

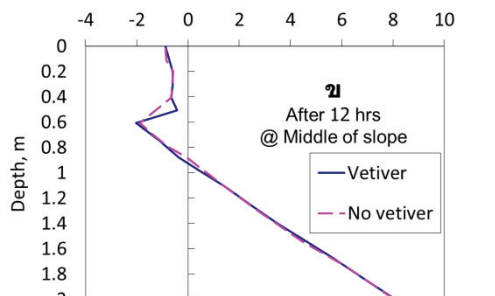
เสริมแรงของหลักแห้งในดิน (C') ส่งผลให้ลดติดนิมีความเสถียรมากยิ่งขึ้น ถึงแม้ว่าดินบริเวณรากหญ้าแห้งจะนำ้ำลงไปด้านล่างได้ขึ้น และทำให้ค่าแรงตันน้ำในช่องว่างดิน (n_w) เพิ่มขึ้นเล็กน้อย แต่ก็ยังไม่มากพอจะทำให้ดินขาดเสถียรภาพจนพิบต์ได้ นอกจากนั้น ผลในรูปที่ 9 ยังแสดงว่าลดติดนิมีได้ปลูกหญ้าแห้งและขาดพิบต์ดิน อาจเกิดการพิบต์ ($FS = 1$) เมื่อมีน้ำฝนสะสมประมาณ 120-170 มม. โดยมีลักษณะการพิบต์ดังแสดงในรูปที่ 10 ลดติดนิมีหญ้าแห้งห่างลึกถึง 2 เมตร จะยังมีความมั่นคงอยู่ ($FS > 1$) แม้จะมีน้ำฝนสะสมมากถึง 180 มม. อย่างไรก็ตาม ข้อสรุปนี้ใช้เฉพาะลดติดนิมีที่ความชันประมาณ 27 องศา และสมมุติฐานอื่นๆ ที่กำหนดได้เท่านั้น

Pore water pressure, kPa



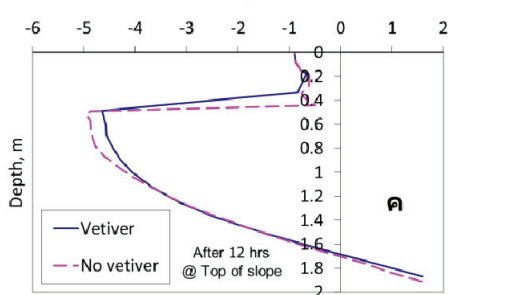
ก

Pore water pressure, kPa



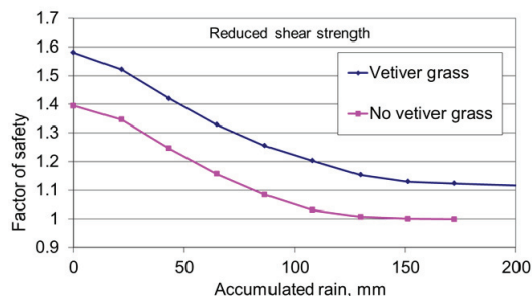
ข

Pore water pressure, kPa

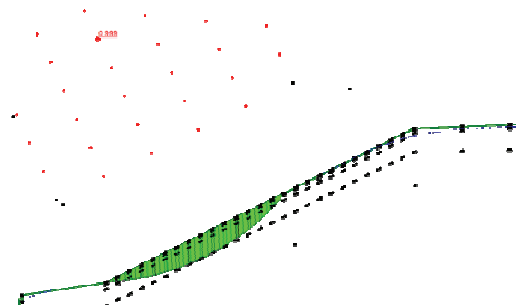


ค

รูปที่ 8 แรงดันน้ำที่เวลา 12 ชม. (น้ำฝนสะสม 43 มม.) สำหรับกรณีลดติดนิมีปลูกหญ้าแห้ง และไม่ปลูกหญ้าแห้ง



รูปที่ 9 อัตราส่วนปลอดภัย (Factor of safety) ที่ค่าน้ำฝนสะสมต่างๆ สำหรับกรณีลดติดนิมีหญ้าแห้งและไม่มีหญ้าแห้ง ชั้น 27 องศา



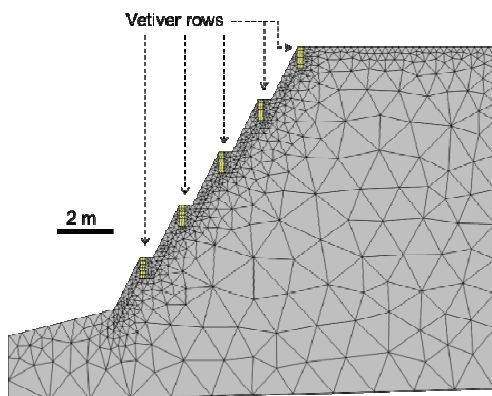
รูปที่ 10 วงศ์พิบต์ ($FS = 0.999$) กรณีไม่มีหญ้าแห้ง เมื่อน้ำฝนสะสม 172 มม.

4. กรณีศึกษาที่ 2 ลาดติดผุชันประมาณ 60 องศา

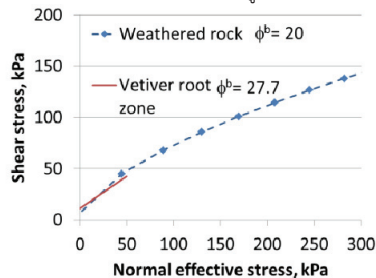
4.1 ลักษณะของลดติดและสมบัติของดิน

กรณีศึกษาที่ 2 เป็นลดติดนิมีความชันประมาณ 60 องศา ดังรูปที่ 11 ซึ่งพบได้ทั่วไปในงานตัดเขา มีลักษณะเป็นชั้นบันไดสูงชั้นละ 2 เมตร จำนวน 5 ชั้น มีแนวปลูกหญ้าแห้งบนแต่ละชั้น กำหนดให้รากหญ้าแห้งสามารถเจาะทินผุได้ลึกถึง 0.80 ม. ใช้ของรากหญ้าแห้งกว้าง 0.2 เมตรในแต่ละแล้ว เส้นอัตลักษณ์ (SWCC) และสัมประสิทธิ์การซึมน้ำของดินบริเวณรากหญ้าแห้งและทินผุ ในการวิเคราะห์แสดงไว้ในรูปที่ 4 และ 5 (ค่า k -function ของทินผุ คือกราฟ Bedrock – case 2) กำลังเฉือนของหญ้าแห้งและทินผุในการวิเคราะห์ที่นี่แสดงไว้ดังรูปที่ 12 ค่ากำลังเฉือนของหญ้าแห้งที่ใช้เป็นค่าเดียวกับการวิเคราะห์ที่กรณีที่ 1 ลดติดธรรมชาติแต่กรณีทินผุใช้การประมาณค่ากำลังเฉือนของทินด้วยวิธีเอ็มพิริคัลของ Hoek & Brown failure criterion-2002 โดยใช้ค่าพารามิเตอร์ของ ทินดินเหนียวที่ไม่แข็งแรง (Weak claystone) มีลักษณะโครงสร้างแบบ Blocky/Disturbed เป็นจากการอยแทรกไว้และมีความไม่ต่อเนื่อง และสภาพพื้นผิวแบบ Poor หรือมี slickensided

สำหรับกรณีศึกษาที่ 2 ได้วิเคราะห์ทั้งกรณีที่มีหญ้าแห้ง และกรณีไม่มีหญ้าแห้ง ซึ่งมีลักษณะหน้าตัดลดติดเหมือนกันทุกประการ แตกต่างเพียงกรณีไม่มีหญ้าแห้ง จะมีเฉพาะทินผุในลดติดเท่านั้น



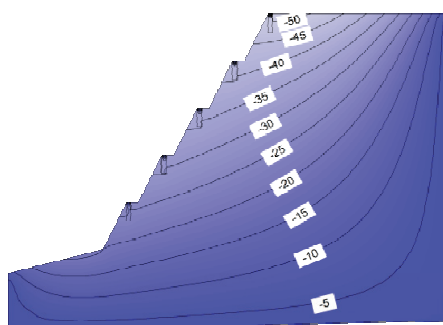
รูปที่ 11 Finite element mesh สำหรับการวิเคราะห์ลักษณะหินตัด
กรณีปลูกแฟก



รูปที่ 12 กำลังเฉือนของวัสดุในการวิเคราะห์ลักษณะหินตัด

4.2 การวิเคราะห์การไหลซึมและเสถียรภาพ

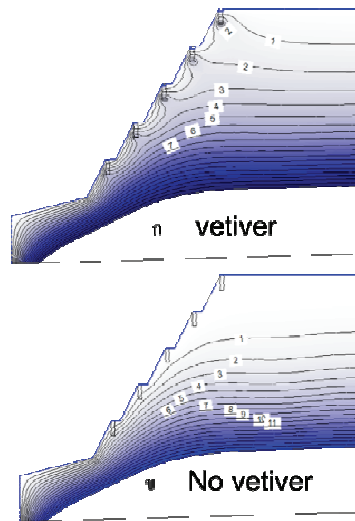
การวิเคราะห์การไหลซึมและเสถียรภาพของลาดใช้ชั้นตอนเดียวกับกับการวิเคราะห์ลักษณะหินตัดในหัวข้อ 3.3 โดยในการวิเคราะห์สภาพเริ่มต้นให้มีค่าการไหลซึมเข้าที่ผิวน้ำด้านบนเท่ากับ $1.077E-07 \text{ m/s}$ (300 mm/เดือน) และให้มีค่าแรงดันน้ำที่ขอบล่างและขอบซ้ายขวาเท่ากับ -3 kPa เพื่อให้ผลการวิเคราะห์ได้คำตอบที่ถูกต้อง (Convergence) และมีสภาพเริ่มต้นในชั้นแรกที่สมเหตุสมผล ดัง อธิบายไว้ใน [17] รูปที่ 13 แสดงแรงดันน้ำในสภาพเริ่มต้นที่คำนวณได้



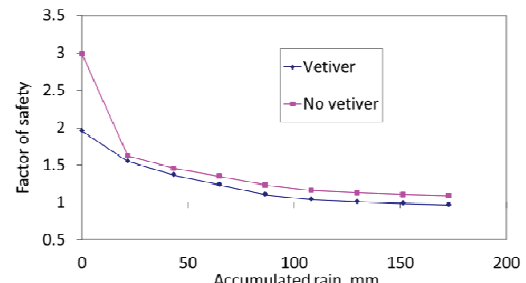
รูปที่ 13 แรงดันน้ำในสภาพเริ่มต้น (kPa)
การไหลลงที่หัวต่อ 300 mm/เดือน

ในการวิเคราะห์ขั้นที่สอง (Transient analysis) กำหนดให้มีอัตราการไหลซึมที่ผิวน้ำด้านบนเท่ากับ $1E-06 \text{ m/s}$ (3.6 mm./ชม. หรือ 86.4 mm./วัน) และมีขอบเขตการไหลเหมือนที่กำหนดในหัวข้อ 3.3 รูปที่ 14 แสดงตัวอย่างผลการวิเคราะห์แรงดันน้ำ ในช่วงที่ฝนตกไปแล้ว 24 ชม. หรือมีน้ำฝนสะสม 86.4 mm . ทั้งกรณีที่มีแฟก และไม่มีแฟก ซึ่งเห็นได้ว่า

เมื่อมีการปลูกแฟกบนลาดหินผุ รากหญ้าแฟกจะนำน้ำลงไปสู่ชั้นหินเบื้องล่าง ส่งผลให้เกิดแรงดันน้ำสูงในมวลหินมากกว่ากรณีที่ไม่เฉพาะมวลหินอย่างเดียวซึ่งน้ำฝนที่ตกลงมาจะไม่ถูกซึมซึมมากและจะกลายเป็นน้ำไหลบ่าออกไปเป็นส่วนใหญ่



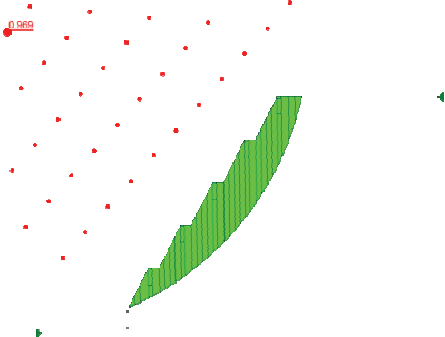
รูปที่ 14 แรงดันน้ำ (kPa) ภายหลังฝนตกไปแล้ว 24 ชม. น้ำฝนสะสม 86.4 mm ทั้งกรณี ก) มีหญ้าแฟก และ ข) ไม่มีหญ้าแฟก



รูปที่ 15 อัตราส่วนปลอดภัย (Factor of safety) ที่คำนวณสะสมต่างๆ สำหรับกรณีลาดหินผุความชัน 60 องศา มีหญ้าแฟกและไม่มีหญ้าแฟก

สำหรับการวิเคราะห์เสถียรภาพของลาดหินผุทั้งกรณีมีหญ้าแฟกและไม่มีหญ้าแฟก ที่ช่วงเวลาและปริมาณน้ำฝนต่างๆ อาศัยการวิเคราะห์แบบ Effective stress โดยใช้ค่าแรงดันน้ำจากการวิเคราะห์ที่ได้อธิบายไว้ก่อนหน้านี้ รูปที่ 15 แสดงผลการวิเคราะห์เป็นกราฟระหว่างอัตราส่วนความปลอดภัย (FS) และปริมาณน้ำฝนสะสม ซึ่งเห็นได้ว่า ลาดหินผุที่มีหญ้าแฟกมีค่าอัตราส่วนความปลอดภัยน้อยกว่าลาดหินที่ไม่มีหญ้าแฟกในทุกช่วงเวลา โดยเมื่อน้ำฝนสะสมมากกว่า 50 mm ค่า FS ของลาดที่มีหญ้าแฟกจะน้อยกว่า ลาดหินที่ไม่มีหญ้าแฟกอยู่ประมาณ 10% ซึ่งเป็นผลจากแรงดันน้ำที่สูงขึ้นเนื่องด้วยรากหญ้าแฟกนำน้ำลงลึกได้มากกว่าในชั้นหินผุ ($FS = 0.969$) สำหรับกรณีมีหญ้าแฟกเมื่อเวลาผ่านไป 48 ชม. (ฝนสะสม 172 mm.) ซึ่งพบว่าจากการพิบัติ ($FS = 0.969$) สำหรับกรณีมีหญ้าแฟกเมื่อเวลาผ่านไป 48 ชม. (ฝนสะสม 172 mm.) ซึ่งพบว่าจากการพิบัติอยู่ลึกต่ำกว่าปัจจัยล่างของรากหญ้าแฟก (ซึ่งอยู่ที่ระดับ 0.8 m) จึงกล่าวได้ว่าอิทธิพลจากการปลูกหญ้าแฟก (C^r) ต่อเสถียรภาพของลาดในกรณีนี้แทบไม่มีเลย เพราะวงการพิบัติตัดผ่านเฉพาะชั้นหินผุเท่านั้น

อย่างไรก็ตาม ข้อมูลด้านหลักภายนอกมีการตรวจสอบต่อไป อาทิ ความยาวที่รากหญ้าแผกหยับลึกได้จริงในพื้นที่ลาดตัดดินมากและลดลงอยู่ รวมไปถึงความซึมล้ำและกำลังเฉือนของดินที่มีรากหญ้าแผกเสริมแรงอยู่ รวมไปถึงความเป็นไปได้ในการบิดของลาดแบบไม่ระบายน้ำ Undrained ซึ่งจะทำให้กำลังเฉือนลดต่ำลงอีก และการศึกษานี้เป็นการจำลองเฉพาะเส้นทางภาพของมวล แต่ไม่ได้พิจารณาการกัดเซาะจากความเรื้อรังน้ำให้ลบ่า



รูปที่ 16 วงการพิบัติ ($FS = 0.969$) กรณีลาดตัดดินผู้มีหญ้าแผก เมื่อน้ำฝนสะสม 172 มม.

5. สรุป

แม้ว่ารากหญ้าแผกจะช่วยเสริมกำลังในดินทำให้ดินมีค่ากำลังเฉือนเพิ่มขึ้น แต่ก็อาจทำให้ดินมีค่าสัมประสิทธิ์การซึมล้ำสูงขึ้นด้วย ซึ่งในกรณีอาจส่งผลลบต่อเส้นทางภาพของลาดเนื่องจากการไหลซึมของน้ำลงสู่ดิน ผลการจำลองการไหลซึมของน้ำฝนสะสมสุดติดดินและเส้นทางภาพของลาด โดยโปรแกรม SEEP/W และ SLOPE/W พบว่า กรณีลาดตัดดินมาตรฐานความชัน 27 องศา หญ้าแผกทำให้แรงดันน้ำในโพร์ดินเพิ่มขึ้นเพียงเล็กน้อย แต่การเสริมกำลังของหญ้าแผกช่วยให้เส้นทางภาพโดยรวมของลาดมีค่าสูงขึ้น แต่ในกรณีของลาดตัดดินผู้ควบคุมชั้น 60 องศา พบว่าหากรากหญ้าแผกกลไกลึกกว่า 0.8 เมตรจะสามารถนำน้ำลงไปได้ดีนั่นที่รากหญ้าแผกได้มากขึ้น ทำให้แรงดันน้ำได้ดินสูงขึ้นและคือตัวร่าส่วนความปลดภัยของลาดลดลงประมาณ 10% เมื่อเปรียบเทียบกับลาดที่ไม่ได้ปลูกหญ้าแผก

6. กิตติกรรมประกาศ

ผู้วิจัยขอขอบคุณ ศูนย์วิจัยวิศวกรรมปฐพีและฐานราก มหาวิทยาลัยเกษตรศาสตร์ ที่ให้ความอนุเคราะห์โปรแกรม SLOPE/W และ SEEP/W สำหรับการวิเคราะห์ในครั้งนี้ ผู้เขียนหลักขอขอบคุณการสนับสนุนทุนวิจัยจาก สถาบันวิจัยและพัฒนาแห่งมหาวิทยาลัยเกษตรศาสตร์ และมูลนิธิพลังที่ยั่งยืน มาก ณ โอกาสนี้

เอกสารอ้างอิง

- [1] Gray, D.H. and Sotir, R.B. *Biotechnical and Soil Bioengineering Slope Stabilization A Practical Guide for Erosion Control*. John Wiley & Sons, 1996.
- [2] ส่งเกียรติ ทานสมฤทธิ์ “ปัญหาในบริเวณที่ยาก: ว่าด้วยวิธีวิศวกรรมชีวภาพในการปลูกป่า” พ้าสร้างผนน คนสร้างป่า รวมเรื่องการปลูกป่าสั่งท้ายปีกาลปัจจุบันไม่吉利. สถาบันลูกโลกสีเขียว. มูลนิธิพลังที่ยั่งยืน, 2555
- [3] อภินิช โชคสังก้าศ. “การประยุกต์ใช้พืชพรรณในงานเส้นทางภาพของลาด”, การสัมมนาวิชาการเรื่อง วิศวกรรมปฐพีและฐานราก'55 จัดโดย คณะอนุกรรมการสาขาวิชากรรมปฐพี ในคณะกรรมการสาขา วิศวกรรมโยธา วิศวกรรมสถานแห่งประเทศไทย ในพระบรมราชูปถัมภ์ (วสท.), 2555, หน้า 159-170
- [4] ตีกี แห่งเชาวนิช การใช้หญ้าแผกเพื่อเสริมเส้นทางภาพเชิงลาดและควบคุมการชะล้างพังทลาย (เพื่อการประยุกต์ในงานวิศวกรรม) เครือข่ายหญ้าแผกประเทศไทย เอกสารทางวิชาการหมายเลข 2543/1, 2543
- [5] มนตรี เดชาสกุลสม, ฤทธิญา ยุวราตน์, รายงานฉบับที่ วพ. 210 การประยุกต์ใช้หญ้าแผกในการแก้ไขปัญหาการชะล้างพังทลายของดินหน้าเชิงลาด. สำนักวิจัยและพัฒนางานทาง. กรมทางหลวง กระทรวงคมนาคม, 2546
- [6] Curtis, M. and Claassen, V. “Using Compost to Increase Infiltration and Improve the Revegetation of a Decomposed Granite Roadcut.” *J. Geotech. Geoenviron. Eng.*, 133(2), 215-218, 2007
- [7] Styczen, M.E. and Morgan, R.P.C. “Engineering properties of vegetation” *Slope stabilization and erosion control, A bioengineering approach*, edited by Morgan, R.P.C and Rickson, R.J. Chapman and Hall, 1995
- [8] Coppin, N.J, Richards, I.G. “Physical effects of vegetation”. *Use of Vegetation in Civil Engineering*, Coppin NJ, Richards IG (eds). 1990.
- [9] สำนักงานคณะกรรมการพิเศษเพื่อประสานงานโครงการอันเนื่องมาจากพระราชดำริ (สำนักงาน กปร.) แผนแม่บท การพัฒนาและรณรงค์การใช้หญ้าแผก อันเนื่องมาจากพระราชดำริ ฉบับที่ 5 (พ.ศ. 2555-2559), 2555 หน้า 31
- [10] Rahardjo, H., Satyanaga, A. and Leong, E. C. “Unsaturated soil mechanics for slope stabilization” *Proc. 5th Asia-Pacific Conf. on Unsaturated Soils, Pattaya, Thailand*. 2011
- [11] Wu, T.H., McKinnell, W.P., III, and Swanston, D.N. “Strength of tree roots and landslides on Prince of Wales Island, Alaska” *Canadian Geotechnical Journal*, 114(12), 1979, pp 19-33.
- [12] จิติมา เทพพาณิช และ อภินิช โชคสังก้าศ “พฤติกรรมของลาดติดดินและกำลังเฉือนของดินในพื้นที่เสี่ยงภัยดินถล่ม อ.ลับแล จ.อุตรดิตถ์” เอกสารประกอบการบรรยายวิชาการ วิศวกรรมโยธาแห่งชาติ ครั้งที่ 15 จังหวัดอุบลราชธานี 12-14 พค 2553
- [13] จิติมา เทพพาณิช และ อภินิช โชคสังก้าศ “พฤติกรรมการไหลซึมและแรงดันน้ำในช่องว่างดิน กรณีศึกษาพื้นที่ดินถล่ม ตำบลแม่สู่ อำเภอสันแล จังหวัดอุตรดิตถ์” เอกสารประกอบการประชุมวิชาการวิศวกรรมโยธาแห่งชาติ ครั้งที่ 16, 18 – 20 พฤษภาคม 2554

- [14] จิตima เทพพานิช “พฤติกรรมทางกลศาสตร์ของดินในพื้นที่ อำเภอ ลับแล จังหวัดอุตรดิตถ์ ที่มีผลต่อการพิบัติของลาดดิน” วิทยานิพนธ์ วิศวกรรมศาสตร์มหาบัณฑิต (วิศวกรรมโยธา) มหาวิทยาลัยเกษตรศาสตร์ บางเขน, 2553
- [15] Blyth, F.G.H. & de Freitas, M.H. *A geology for engineers*, The Bath Press. 1984, Pp 221
- [16] Nguyen, H.D, De Gennaro, V, Delage, P. & Sorgi, C. “Retention and compressibility properties of a partially saturated mine chalk” *1st European Conference on Unsaturated Soils (E-UNSAT)*, Durham, UK, 2-4 July, 2008.
- [17] อภินิท ໂຂຕີສັກສັນ ແລະ ອັດຄພິມໍນ ສ່ວ່ງສູງຍິ່ງ. “การประยຸດໃຫ້ຄວາມຮູ້ທາງກລືກສຳສົດຂອງດິນໄມ້ວິມນ້າສໍາຫຼັບຈາກເສີ່ຍວາພຂອງລາດດິນ” การประชุมวิชาการวิศวกรรมโยธาแห่งชาติ ครั้งที่ 13, 2551.